

文章编号:2095-7386(2024)01-0028-06
DOI:10.3969/j.issn.2095-7386.2024.01.004

过表达 miR-144-3p 下调感染巨噬细胞 IL-6 mRNA 抑制 BCG 的存活

江升升¹,李 杨¹,李淑萍²,李雪芳¹,张 叶¹,周怀珩¹,刘晓倩¹,余晓丽¹

(1. 武汉轻工大学 生命科学与技术学院,武汉 430023;2. 亳州学院 生物与食品工程学院,亳州 236800)

摘要:探究 miR-144-3p 对巨噬细胞 IL-6 mRNA 表达量和巨噬细胞免疫能力的影响,为结核诊疗提供理论参考。方法(1)建立 BCG 感染 THP-1 巨噬细胞模型,qPCR 检测感染不同时间 miR-144-3p 和 IL-6 mRNA 表达变化;(2)瞬转 miR-144-3p 模拟物/抑制剂来过表达/抑制 miR-144-3p 后,qPCR 检测感染不同时间 miR-144-3p 和 IL-6 mRNA 表达变化;皮尔森相关系数分析 miR-144-3p 和 IL-6 mRNA 的相关性;(3)CCK-8 检测瞬转 miR-144-3p 模拟物/抑制剂后,CCK-8 检测 BCG 感染的巨噬细胞增殖能力;CFU 检测 BCG 存活状态。结果显示:(1)巨噬细胞感染 BCG 后,miR-144-3p 和 IL-6 mRNA 表达均显著上升($P<0.05$),miR-144-3p 表达量在 12 h 达到峰值,IL-6 mRNA 表达量在 24 h 达到峰值;(2)巨噬细胞感染 BCG 后,过表达 miR-144-3p 使 IL-6 mRNA 表达显著下降($P<0.01$);抑制 miR-144-3p 使 IL-6 mRNA 表达显著上升($P<0.01$);皮尔森相关系数分析结果显示两者存在负相关性;(3)过表达/抑制 miR-144-3p 不影响巨噬细胞增殖能力,但过表达 miR-144-3p 能抑制巨噬细胞中 BCG 的存活。结论:BCG 感染巨噬细胞后 miR-144-3p 和 IL-6 mRNA 表达均显著上升;过表达/抑制巨噬细胞 miR-144-3p,miR-144-3p 可能负调控 IL-6 mRNA 表达;过表达 miR-144-3p 能抑制 BCG 存活,进而增强巨噬细胞的先天免疫能力。

关键词:结核病;BCG;THP-1 巨噬细胞;miR-144-3p;IL-6 mRNA

中图分类号:R 392.12

文献标识码:A

Overexpression of miR-144-3p downregulates IL-6 mRNA in infected macrophages to inhibit BCG survival

JIANG Shengsheng¹, LI Yang¹, LI Shuping², LI Xuefang¹,
ZHANG Ye¹, ZHOU Huaiheng¹, LIU Xiaoqian¹, YU Xiaoli¹

(1. School of Life Science and Technology, Wuhan Polytechnic University, Wuhan 430023, China;

2. School of Biological and Food Engineering, Bozhou University, Bozhou 236800, China)

Abstract: To investigate the effect of miR-144-3p on macrophage IL-6 mRNA expression and macrophage

收稿日期:2023-10-23.

作者简介:江升升(2000—),男,硕士研究生,E-mail:1791855752@qq.com.

通信作者:余晓丽(1963—),女,教授,E-mail:yxll268@126.com.

基金项目:武汉市科技局 2020 年度应用基础前沿科研项目(编号:2020020601012231)

immunocompetence, and to provide theoretical reference for tuberculosis diagnosis and treatment. The method is establish a BCG-infected THP-1 macrophage model, qPCR to detect changes in miR-144-3p and IL-6 mRNA expression at different times of infection; transiently transfect miR-144-3p mimics/inhibitors to overpress/inhibit miR-144-3p after the qPCR to detect miR-144-3p and IL-6 mRNA expression changes at different times of infusion; Pearson's correlation coefficient analysis the miR-144-3p and IL-6 mRNA correlation; CCK-8 to detect the proliferative capacity of BCG-infected macrophages after transiently transfecting miR-144-3p was used mimics/inhibitors; and CFU was used to detect BCG survival status. Both miR-144-3p and IL-6 mRNA expression increased significantly ($P < 0.05$) after macrophages were infected with BCG, with miR-144-3p expression peaking at 12 h, and IL-6 mRNA expression peaking at 24 h. Overexpression of miR-144-3p after macrophages were infected with BCG resulted in a significant decrease ($P < 0.01$) in IL-6 mRNA expression; inhibition of miR-144-3p significantly increased IL-6 mRNA expression ($P < 0.01$); there was a negative correlation between the two as analyzed by Pearson's correlation coefficient; overexpression/inhibition of miR-144-3p did not affect the proliferative capacity of macrophages, but overexpression of miR-144-3p inhibited the survival of BCG in macrophages. Both miR-144-3p and IL-6 mRNA expression were significantly increased in BCG-infected macrophages; overexpression/inhibition of miR-144-3p in macrophages and miR-144-3p may negatively regulate IL-6 mRNA expression; overexpression of miR-144-3p inhibits BCG survival and thus enhances the innate immunity of macrophages.

Key words: tuberculosis; BCG; THP-1 macrophages; miR-144-3p; IL-6 mRNA

0 引言

据 2023 年 WHO 全球结核病报告:2022 年全球结核患者人数估计 1 060 万,其中有 750 万人被诊断为肺结核患者,我国估算结核病发病人数排全球第 3 位^[1]。巨噬细胞是一类重要的免疫细胞,是结核分枝杆菌(Mtb)侵入机体的主要靶细胞,在 Mtb 感染宿主时,其可以通过吞噬作用、自噬、凋亡等机制对细胞内 Mtb 进行清除^[2,3]。近年来,miR-144-3p 在肿瘤、癌症等方面得到了广泛研究,研究发现 miR-144-3p 可以靶向数千个基因,能直接或间接影响这些基因的表达^[4]。Mtb 感染宿主期间会诱导宿主产生细胞因子,如 IL-6,参与宿主免疫,杀死结核分枝杆菌,故 IL-6 的分泌增加有利于提高宿主的先天性免疫应答^[5]。资料显示感染分枝杆菌脓肿亚种患者 PBMC 中 miR-144-3p 和 IL-6 会显著上调^[6]。我们在前期研究中也发现 HupB 可以刺激 THP-1 巨噬细胞表达 IL-6,此外 HupB 刺激结核患者 PBMC 后 IL-6 mRNA 表达量显著高于非结核肺部疾病组和健康组,同时 miR-144-3p 的表达量显著高于非结核肺部疾病组和健康组^[7]。

鉴于此,本研究旨在探讨在巨噬细胞中 miR-144-3p 与 IL-6mRNA 之间是否存在相关性,进而

探究 miR-144-3p 对巨噬细胞 IL-6 mRNA 表达和巨噬细胞免疫能力的影响,为结核诊疗提供理论参考。

1 材料和方法

1.1 材料

BCG 菌株以及人 THP-1 细胞由本实验室提供,胎牛血清购自 QmSuero 公司,CCK-8 试剂盒购自 biosharp 公司,TRIpure 购自 aidlab 公司,Mir-X miRNA First-Strand Synthesis Kit,PrimeScriptTM RT reagent Kit with gDNA Eraser (Perfect Real Time)、TB Green C Premix Ex Taq™ II(Tli RNaseH Plus)购自 TaKaRa 公司。lipo3000、Opti-MEM 购自 Invitrogen 公司。

引物由上海生工合成,序列如下:miR-144-3p 正向引物:GCGCTACAGTATAGATGATGTAC;反向引物:mRQ 3'试剂盒提供。IL-6 正向引物:GACAGCCACTCACCTCTTCAGAAC;反向引物:GCCTCTTGCTGCTTCAACATG。miRNA 实验组内参基因为 U6(试剂盒提供),mRNA 实验组内参基因人 ACTB 正向引物:CAGGCAC-CAGGGCGTGAT;反向引物:TAGCAACGTA-CATGGCTGGG。

1.2 方法

1.2.1 细胞培养及诱导

THP-1 单核细胞培养在含有 10% 胎牛血清、1% 青霉素/链霉素的 RPMI 1640 培养基中, 在 37 °C, 5% CO₂ 的培养箱中培养, 细胞处于对数生长期且状态良好时以 4—5×10⁵ cells/mL 的密度加入 24 孔板, 每孔 500 μL 细胞悬液加入 75 ng 的 PMA, 诱导 24 h 后, 细胞由悬浮细胞转为贴壁细胞, 由圆形变成不规则形态, 少数细胞伸出伪足成为梭型, 表明细胞已诱导分化为 THP-1 巨噬细胞。

1.2.2 BCG 的培养与感染

BCG 培养于含 5% OADC 增菌液的 7H9 液体培养基中, 在 37 °C 培养箱中静置培养, 菌落计数后备用。BCG 以 10:1 的感染复数感染 THP-1 巨噬细胞。

1.2.3 细胞总 RNA 提取

24 孔板中每孔细胞加入 500 μL TRIpure, 吹打至细胞应完全裂解。转移至离心管中, 加入 200 μL 的预冷氯仿混匀, 12 000 r/min 4 °C 离心 15 min, 吸取含总 RNA 的上层水相至一新的离心管中, 再加入 500 μL 预冷异丙醇后混匀, -80 °C 沉淀 2 h; 12 000 r/min 4 °C 离心 10 min, 在管侧壁或管底可见 RNA 沉淀; 弃上清, 加入 1 mL 75% 乙醇以清洗 RNA 沉淀, 12 000 r/min 4 °C 离心 3 min, 开盖晾干, 加入 10 μL DEPC 水溶解 RNA 沉淀, 室温静置 5~10 min。

1.2.4 逆转录合成 cDNA

(1) miRNA 逆转录合成 cDNA

按照 TaKaRa Mir-X miRNA First-Strand Synthesis Kit 试剂盒说明书进行逆转录反应实验。

(2) mRNA 逆转录合成 cDNA

按照 TaKaRa PrimeScript™ RT reagent Kit with gDNA Eraser 试剂盒说明书进行逆转录反应实验。

1.2.5 实时荧光定量 PCR

按照 TaKaRa qPCR 试剂盒 TB Green® Premix Ex Taq™ II 的说明书进行反应体系的配制, 应用荧光定量 PCR 仪 CFX96 Real-Time PCR Detection System 按两步法设置 PCR 扩增程序。

1.2.6 转染

由上海生工完成 miR-144-3p 模拟物(mimics)、miR-144-3p 抑制剂(inhibitor) 及相应阴性对照

(NC-mimics 及 NC-inhibitor) 的合成, 按照 lipo3000 使用说明书进行转染。对应序列信息如下:

miR-144-3p mimics: 5'-3': UACAGUAUAGA UGAUGUACU; 5'-3': AGUACAUCAUCUAUAC UGUA。 NC-mimics: 5'-3': UCACAAACCUCCUA-GAAAGAGUAGA; 5'-3': UCUACUCUUUC-UAGGAGGUUGUGA。

miR-144-3p inhibitor: 5'-3': (mA)(mG)(mU) (mA)(mC) (mA) (mU) (mC) (mA) (mU) (mC) (mU) (mA); NC-inhibitor: 5'-3': (mC)(mA)(mG)(mU) (mA)(mC)(mU)(mU)(mU)(mG)(mU) (mG)(mU)(mA)(mG)(mU)(mA)(mC)(mA) (mA)。

1.2.7 细胞增殖实验

将细胞铺板在 96 孔, 培养不同时间后, 从培养箱中取出 96 孔细胞培养板, PBS 清洗细胞一次, 更换 RPMI 1640 培养基 100 μL/孔。避光条件下, 将 1/10 体积的 CCK-8 直接加入培养基中的细胞中混匀。

在细胞培养箱内继续孵育 4 h, 直到颜色变为橙色, 将 96 孔板置于摇床上约 1 min 后用酶标仪测定在 450 nm 处的吸光值, 对得到的 OD 值进行计算及数据分析作图。

1.2.8 菌落计数

用 PBS 缓冲液洗涤细胞 3 次以去除胞外细菌, 收集细胞样本, 用 0.5% SDS 裂解细胞分别稀释 10、100、1 000 倍后接种在含有 10% OADC 的 7H10 固体培养基平板上, 并在 37 °C 孵育 3 周后进行计数。

1.2.9 数据统计与分析

荧光定量 PCR 结果采用 $\Delta\Delta Ct$ 法计算样本 miRNA/mRNA 相对表达量, 运用 GraphPad Prism 8.0.2 软件对数据进行统计分析并绘制相应结果图, 对符合条件的两组样本比较采用 t 检验, 对符合条件的三组及以上样本比较采用 one-way anova 两两匹配, $P < 0.05$ 时具有统计学意义。每组数据表示形式为: 平均值±标准差($X \pm S$)。

1.2.10 相关性分析

采用皮尔森相关系数(Pearson correlation coefficient)评估 miR-144-3p 与 IL-6 mRNA 相关性, R 取值越靠近 -1, 表示两个随机变量之间负相关性越强。

2 结果

2.1 巨噬细胞感染 BCG 后 miR-144-3p 和 IL-6 mRNA 表达变化

BCG 感染 THP-1 巨噬细胞不同时间后, qPCR 检测 miR-144-3p 和 IL-6 mRNA 表达量。结果显示

THP-1 巨噬细胞在 BCG 感染 6 h miR-144-3p 表达量与未感染前相比下降,而在 12 h miR-144-3p 表达量与未感染前相比显著上升达到峰值(图 1A)。IL-6 mRNA 表达量在 2 h 以外的其他时间点显著上升,在 24 h 达到峰值(图 1B)。

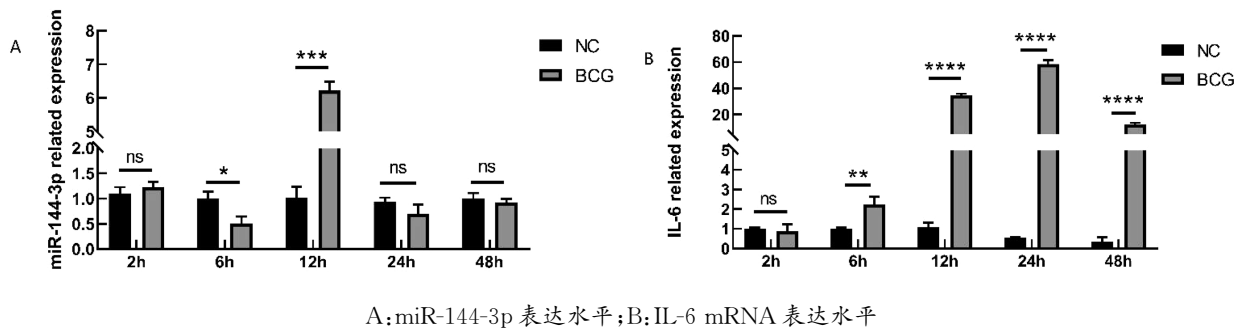


图 1 THP-1 巨噬细胞感染 BCG 前后 RNA 表达水平

A:miR-144-3p expression level ns; B: IL-6 mRNA expression level ns
 $P > 0.05$; *, $P < 0.05$; **, $P < 0.01$; ***, $P < 0.001$; ****, $P < 0.0001$.

Fig. 1 RNA expression level of THP-1 macrophages before and after BCG infection

2.2 过表达/抑制 miR-144-3p 对巨噬细胞 IL-6 mRNA 表达水平的影响

经转染时间优化,在 THP-1 巨噬细胞中瞬转 miR-144-3p mimics/NC-mimics 24 h 或者 miR-144-3p inhibitor/NC-inhibitor 48 h, BCG 感染不同时间后,qPCR 检测巨噬细胞中 miR-144-3p 和 IL-6 mRNA 表达量。

结果显示在 6 h、12 h、24 h 感染 BCG 和未感染组中,瞬转 miR-144-3p mimics 组 miR-144-3p 表达量均显著上升,在 12 h 时达到峰值(图 2A)。在 6 h、12 h、24 h 感染 BCG 与未感染组相比,IL-6 mRNA 表达量均显著上升,在 12 h 时达到峰值。瞬转 miR-144-3p mimics 与对照组相比,在不同时间 IL-6 mRNA 表达量均下降(图 2B)。

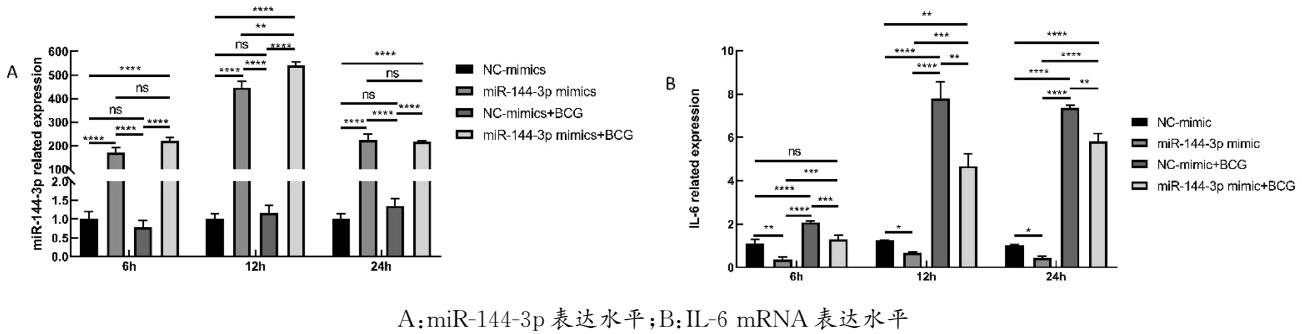


图 2 瞬转 miR-144-3p mimics/NC-mimics 后 THP-1 巨噬细胞感染 BCG 前后 RNA 表达水平

A:miR-144-3p expression level ns; B: IL-6 mRNA expression level ns
 $P > 0.05$; *, $P < 0.05$; **, $P < 0.01$; ***, $P < 0.001$; ****, $P < 0.0001$.

Fig. 2 RNA expression levels of THP-1 macrophages infected with BCG after transient miR-144-3p mimics/NC-mimics

在 6 h、12 h、24 h 愄染 BCG 和未感染组中,瞬转 miR-144-3p inhibitor 组 miR-144-3p 表达量均显著上升,在 12 h 时达到峰值(图 3A)。在感染 BCG

后 6 h、12 h,瞬转 miR-144-3p inhibitor 组与对照组相比,IL-6 mRNA 表达量均上升,说明抑制 miR-144-3p 促进 IL-6 mRNA 表达(图 3B)。

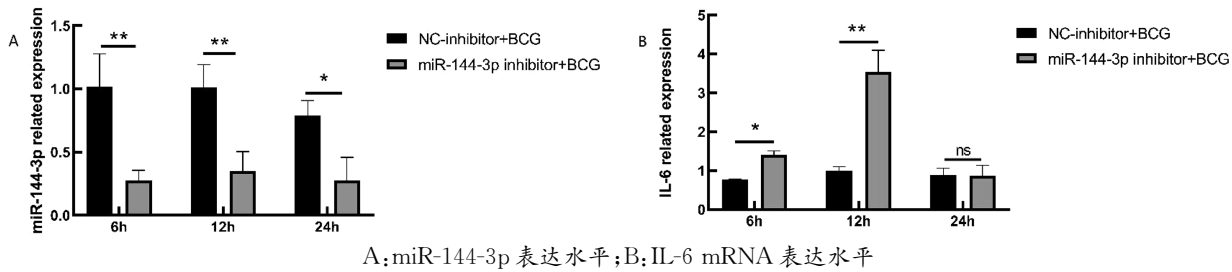


图 3 瞬转 miR-144-3p inhibitor/NC-inhibitor 后 THP-1 巨噬细胞感染 BCG 前后 RNA 表达水平

A:miR-144-3p expression level ns; B:IL-6 mRNA expression level ns, P>0.05; *, P<0.05; **, P<0.01.

Fig. 3 RNA expression levels of THP-1 macrophages infected with BCG

after transient miR-144-3p inhibitor/NC-inhibitor

皮尔森相关系数分析结果显示:瞬转 miR-144-3p mimics,在 6 h、12 h 及 24 h,miR-144-3p 表达水平与 IL-6 mRNA 表达水平存在负相关关系($R = -0.88, P < 0.009$; $R = -0.8, P < 0.054$; $R = -0.87, P < 0.13$);瞬转 miR-144-3p inhibitor,在 6 h、12 h 及 24 h,miR-144-3p 表达水平与 IL-6 mRNA 表达水平存在负相关关系($R = -0.98, P < 0.019$; $R = -0.84, P < 0.072$; $R = -0.46, P < 0.54$)。

2.3 过表达/抑制 miR-144-3p 对巨噬细胞增殖能力的影响

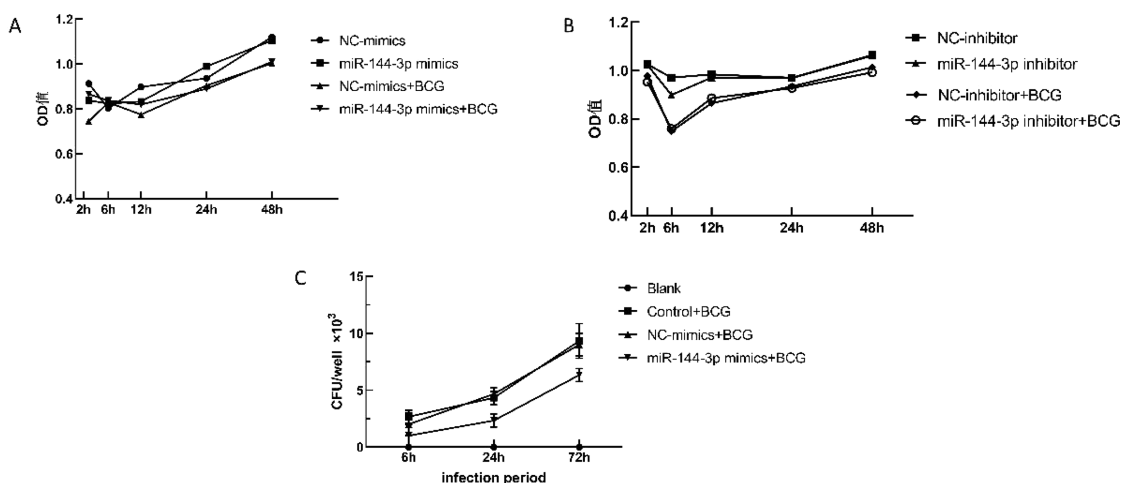
在 THP-1 巨噬细胞中瞬转 miR-144-3p mimics/NC-mimics 24 h 或者 miR-144-3p inhibitor/NC-inhibitor 48 h,BCG 感染不同时间后,用 CCK-8 试剂盒检测巨噬细胞增殖情况。结果显示转染不同时间后 BCG 感染的巨噬细胞增殖能力均无显著变

化,说明过表达/抑制 miR-144-3p 均不影响巨噬细胞增殖(图 4A、图 4B)。

2.4 过表达 miR-144-3p 对 BCG 存活的影响

在 THP-1 巨噬细胞中瞬转 miR-144-3p mimics/NC-mimics 24 h,并在 BCG 感染巨噬细胞不同时间后采用 CFU 试验统计巨噬细胞内 BCG 数量。结果显示 Control+BCG 组及 NC-mimics+BCG 组差异均不明显,符合实验预期;miR-144-3p mimic+BCG 组在 6 h、24 h 及 72 h 菌落数均低于 Control+BCG 组和 NC-mimics+BCG 组,表明过表达 miR-144-3p 后巨噬细胞内 BCG 存活受到抑制(图 4C)。

综上所述,过表达 miR-144-3p 能够抑制巨噬细胞内 BCG 存活,推测 miR-144-3p 有助于巨噬细胞抗结核反应。



A:瞬转 miR-144-3p mimics/NC-mimics 后巨噬细胞增殖情况;B:瞬转 miR-144-3p inhibitor/NC-inhibitor 后巨噬细胞增殖情况;

C:瞬转 miR-144-3p mimics/NC-mimics 后巨噬细胞内 BCG 存活情况

图 4 瞬转后巨噬细胞增殖情况及胞内 BCG 存活情况

A: Macrophage proliferation after instantaneous miR-144-3p mimics/NC-mimics;

B: Macrophage proliferation after instantaneous miR-144-3p inhibitor/NC-inhibitor;

C: Survival of BCG in macrophages at different infection times after instantaneous miR-144-3p inhibitor/NC-mimics

Fig. 4 Proliferation of macrophages after instantaneous transfer and survival of BCG in macrophages

3 讨论

miRNA 是参与转录后基因调控的非编码 RNA, 它们参与生物体内的各种生理和病理过程, 如细胞增殖、分化、发育和凋亡等^[8,9]。

越来越多的研究表明 miRNA 参与宿主对 M. tb 感染的反应。Pu R 等^[10]研究 miR-144 通过靶向 toll 样受体 2 在非小细胞肺癌中抑制细胞迁移和侵袭并调节炎性细胞因子分泌, 发现 miR-144 通过下调 A549 细胞 TLR2 表达, 抑制 IL-1 β 、IL-6 和 IL-8 的迁移、侵袭和分泌。Li RD 等^[11]研究发现 miR-144 在肝移植患者成熟 DCs、巨噬细胞和 PBMCs 中表达量下调, miR-144 模拟物可抑制成熟 DCs 中 TNF- α 、IL-1 β 、IL-6 和 IL-23 的表达。类似的, 大量文献资料显示 miR-144 与 IL-6 之间也同样存在联系, 而 miR-144 属于 miR-144 大类, 提示 miR-144-3p 与 IL-6 之间也有可能存在联系^[12]。miRNA let-7 过表达会降低 M. tb 存活率并增加包括 TNF 和 IL-1 β 在内的细胞因子的产生^[13]。miR-27a 可以直接靶向 Ca $^{2+}$ 转运蛋白 Cacna2d3 并通过 ER Ca $^{2+}$ 信号抑制自噬, 从而促进 M. tb 的细胞内存活^[14]。

根据文献资料显示, miR-144-3p 与 IL-6 之间更大可能是间接作用, 且 IL-6 可能在 miR-144-3p 下游, 也有可能由 LncRNA 调控 miR-144-3p 靶向某一蛋白或通路达到间接调控 IL-6 的目的^[15]。

本研究结果发现, 过表达 miR-144-3p 下调 IL-6 mRNA 表达, 抑制 miR-144-3p 上调 IL-6 mRNA 表达; 在感染状态下的巨噬细胞中, miR-144-3p 与 IL-6 mRNA 表达存在负相关关系。miR-144-3p 在巨噬细胞抗 BCG 感染期间发挥着重要作用, 可能影响巨噬细胞的炎症反应, 但并不影响巨噬细胞增殖, 提示 miR-144-3p 可能通过其他方面影响巨噬细胞, 可能是 IL-6 mRNA 的上游调控因子, 进而影响巨噬细胞免疫能力, 如吞噬、自噬、凋亡、焦亡、迁移等方面。此外, miR-144-3p 可能通过某种蛋白或通路调控 IL-6, 但具体调控机制还需更深入的研究。

参考文献:

- [1] Global tuberculosis report 2023[M]. Geneva: World Health Organization, 2023.
- [2] Xie D, Ouyang S. The role and mechanisms of macrophage polarization and hepatocyte pyroptosis in acute liver failure[J]. Front Immunol, 2023, 14: 1279264.
- [3] Liu H, Han Z, Chen L, et al. ZNFX1 promotes AMPK-mediated autophagy against Mycobacterium tuberculosis by stabilizing mRNA[J]. JCI Insight, 2024, 9(1): e171850.
- [4] Pinto-Hernandez P, Castilla-Silgado J, Coto-Vilcapoma A, et al. Modulation of microRNAs through Lifestyle Changes in Alzheimer's Disease [J]. Nutrients, 2023, 15(17): 3688.
- [5] Kumar R, Singh P, Kolloli A, et al. Immuno-metabolism of Phagocytes During Mycobacterium Tuberculosis Infection[J]. Front Mol Biosci, 2019, 6: 105.
- [6] Kim H J, Kim I S, Lee S G, et al. MiR-144-3p is associated with pathological inflammation in patients infected with Mycobacteroides abscessus[J]. Exp Mol Med, 2021, 53(1): 136-149.
- [7] 张珮. 基于 HupB 特异性 RNA 表达及其在结核病诊断中的价值研究[D]. 武汉: 武汉轻工大学, 2021.
- [8] Sampath P, Periyasamy K M, Ranganathan U D, et al. Monocyte and Macrophage miRNA: Potent Biomarker and Target for Host-Directed Therapy for Tuberculosis [J]. Front Immunol, 2021, 12: 667206.
- [9] Kundu M, Basu J. The Role of microRNAs and Long Non-Coding RNAs in the Regulation of the Immune Response to Mycobacterium tuberculosis Infection[J]. Front Immunol, 2021, 12: 687962.
- [10] Pu R, Pu M, Huang H, et al. MicroRNA 144 inhibits cell migration and invasion and regulates inflammatory cytokine secretion through targeting toll like receptor 2 in non-small cell lung cancer[J]. Arch Med Sci, 2021, 17(4): 1028-1037.
- [11] Li R D, Shen C H, Tao Y F, et al. MicroRNA-144 suppresses the expression of cytokines through targeting RANKL in the matured immune cells[J]. Cytokine, 2018, 108: 197-204.

(下转第 53 页)

benzoic acid ester as a novel rust conversion agent and its polymer composites for enhanced surface anticorrosion[J]. Colloids and Surfaces A: Physicochemical and Engineering Aspects, 2021,626:127065.

[19] Rajitha K, Mohana K N S, Hegde M B, et al. Fabrication of ZnO/rGO and ZnO/MWCNT nanohybrids to reinforce the anticorrosion performance of polyurethane coating[J]. FlatChem, 2020, 24:100208.

(上接第 33 页)

- [12] Liu Y, Cui X, Wang C, et al. LncRNA HCG11 regulates proliferation and apoptosis of vascular smooth muscle cell through targeting miR-144-3p/FOXF1 axis in atherosclerosis[J]. Biol Res, 2020, 53(1):44.
- [13] Liu F, Chen J, Wang P, et al. MicroRNA-27a controls the intracellular survival of Mycobacterium tuberculosis by regulating calcium-associated autophagy[J]. Nat Commun, 2018, 9(1):4295.
- [14] Liu K, Hong D, Zhang F, et al. MicroRNA-

106a Inhibits Autophagy Process and Antimicrobial Responses by Targeting ULK1, ATG7, and ATG16L1 During Mycobacterial Infection [J]. Front Immunol, 2020, 11: 610021.

[15] Yi Y, Yang N, Yang Z, et al. LncRNA TM1-3P Regulates Proliferation, Apoptosis and Inflammation of Fibroblasts in Osteoarthritis through miR-144-3p/ONECUT2 Axis [J]. Orthop Surg, 2022, 14(11):3078-3091.